

คุณสมบัติเชิงกลของผงโลหะผสมระหว่างเหล็กทองแดง และแกรไฟต์

นาย สามชัย จิระภัทรคิลป

วิทยานิพนธ์นี้เป็นส่วนหนึ่งของการศึกษาตามหลักสูตรปริญญาวิศวกรรมศาสตรมหาบัณฑิต

สาขาวิชาชีวกรรมอุตสาหการ ภาควิชาชีวกรรมอุตสาหการ

บัณฑิตวิทยาลัย จุฬาลงกรณ์มหาวิทยาลัย

ปีการศึกษา 2540

ISBN 974-637-953-4

ลิขสิทธิ์ของบัณฑิตวิทยาลัย จุฬาลงกรณ์มหาวิทยาลัย

**MECHANICAL PROPERTIES OF METAL POWDER MIXES OF  
IRON COPPER AND GRAPHITE**

Mr. Samchai Jirapatarasil

A Thesis Submitted in Partial Fulfillment of the Requirements  
for the Degree of Master of Engineering in Industrial Engineering

Department of Industrial Engineering

Graduate School

Chulalongkorn University

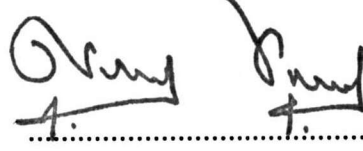
Academic Year 1997

ISBN 974-637-953-4

หัวข้อวิทยานิพนธ์ คุณสมบัติเชิงกลของผงโลหะผสมระหว่างเหล็กทองแดง และแกรไฟต์  
โดย นาย สามชัย จิระภัทรศิลป  
ภาควิชา วิศวกรรมอุตสาหการ  
อาจารย์ที่ปรึกษา อาจารย์ ดร. สมชาย พัฒนาเนตร

---

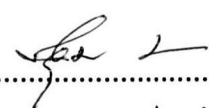
บัณฑิตวิทยาลัย จุฬาลงกรณ์มหาวิทยาลัย อนุมัติให้นับวิทยานิพนธ์ฉบับนี้ เป็นส่วนหนึ่ง  
ของการศึกษาตามหลักสูตรปริญญามหาบัณฑิต

  
..... คณบดีบัณฑิตวิทยาลัย  
(ศาสตราจารย์ นายแพทย์ คุกวัฒน์ ชุติวงศ์)

คณะกรรมการสอบวิทยานิพนธ์

  
..... ประธานกรรมการ  
(ศาสตราจารย์ ดร. ศิริจันทร์ ทองประเสริฐ)

  
..... อาจารย์ที่ปรึกษา  
(อาจารย์ ดร. สมชาย พัฒนาเนตร)

  
..... กรรมการ  
(รองศาสตราจารย์ ช่อุ่ม มลิลา)

  
..... กรรมการ  
(รองศาสตราจารย์ สมชาย พวงเพิกศึก)

สามชัย จิระภัทรศิลป : คุณสมบัติเชิงกลของผงโลหะผสมระหว่างเหล็กทองแดง และแกรไฟต์  
(MACHANICAL PROPERTIES OF METAL POWDER MIXES OF IRON COPPER AND GRAPHITE) อ.ที่ปรึกษา : อาจารย์ ดร.สมชาย พัฒนาเนตร,  
158 หน้า ISBN 974-637-953-4

การวิจัยนี้ เป็นการศึกษาคุณสมบัติทางกายภาพ และคุณสมบัติเชิงกลของผงโลหะผสมที่มีผงเหล็ก ทองแดง และแกรไฟต์ เป็นองค์ประกอบ โดยมีการเปลี่ยนแปลง อุณหภูมิการเผา

ชิ้นงานที่มีส่วนผสมของเหล็ก ทองแดง และ แกรไฟต์ เตรียมขึ้นโดย ใช้ปริมาณของผงเหล็ก ร้อยละ ระหว่าง 88.8 - 100 ปริมาณผงทองแดงร้อยละระหว่าง 0 - 10 และ ปริมาณแกรไฟต์ ร้อยละระหว่าง 0 - 1.2 โดยน้ำหนัก จากนั้นขึ้นรูปชิ้นงานด้วยเครื่องอัดที่แรงอัด 10 ตัน และเผาที่อุณหภูมิ 880 950 และ 1120 องศา เชลเซียส สุดท้ายได้ทำการทดสอบคุณสมบัติทางกายภาพ และคุณสมบัติเชิงกลของชิ้นงาน ได้แก่ ความถ่วงจำเพาะ การเปลี่ยนแปลงขนาด แรงดัดชนิด 2 แกน โดยมีค่าความยืดหยุ่น และความแข็งของชิ้นงานผงโลหะผสม และได้ศึกษาร่วมกับความสัมพันธ์ของแต่ละคุณสมบัติ และ สมการความสัมพันธ์ระหว่างคุณสมบัติ กับส่วนผสมของ ปริมาณทองแดง แกรไฟต์ และอุณหภูมิการเผา โดยใช้เทคนิคการวิเคราะห์การทดถอย

ผลที่ได้จากการทดลอง พบว่า ที่ส่วนผสมของผงโลหะผสมที่มีเหล็กเป็นองค์ประกอบหลัก และมีปริมาณทองแดงร้อยละ 8 โดยน้ำหนัก ภายหลังการเผาที่อุณหภูมิ 1120 องศาเชลเซียส จะให้ค่าการขยายตัวของชิ้นงานสูงสุด ร้อยละเท่ากับ 1.72 ของขนาดก่อนเผา ในขณะที่ ส่วนผสมที่มีปริมาณทองแดง ร้อยละ 6 แกรไฟต์ ร้อยละ 0.8 โดยน้ำหนัก ภายหลังการเผาที่อุณหภูมิ 1120 องศาเชลเซียส จะให้ค่าแรงดัดชนิด 2 แกน และค่าโมดูลัสความยืดหยุ่นสูงสุด เท่ากับ 656.15 และ 8489.46 นิวตันต่อตารางมิลลิเมตร ตามลำดับ และส่วนผสมที่มีปริมาณทองแดงร้อยละ 10 โดยน้ำหนัก แกรไฟต์ร้อยละ 1.2 โดยน้ำหนัก ภายหลังการเผาที่อุณหภูมิ 1120 องศา เชลเซียส จะให้ค่าความถ่วงจำเพาะ และ ค่าความแข็งมากที่สุด เท่ากับ 6.187 และ 81.5 HRT ตามลำดับ

## C816609 : MAJOR INDUSTRIAL ENGINEERING  
KEYWORD: POWDER METALLURGY/ IRON POWDER/BIAXIAL BENDING STRENGTH  
SAMCHAI JIRAPATARASIL : MACHANICAL PROPRETIES OF METAL  
POWDER MIXES OF IRON COPPER AND GRAPHITE. THESIS ADVISOR  
SOMCHAI PUAJINDANETR, Ph.D. 158 pp. ISBN 974-637-953-4

This research was to study physical properties and mechanical properties of powder metallurgy consisted of iron powder, copper powder and graphite including the variation of sintering temperature.

The metal powders were prepared using iron powder, ranged 88.8 - 100 of percentage, copper powder ranged 0 - 10 of percentage and graphite ranged 0 - 1.2 percentage by weight. The specimens were performed at the pressure of 10-Ton using die compression machine. The sintering temperatures in this study were 880 °C 950 °C and 1120 °C. The physical properties and mechanical properties of the sintered specimens were studied such as specific gravity, linear shrinkage, biaxial bending strength, young's modulus, hardness. The relationship of the properties, the compositions and the sintering temperatures of the specimens were observed using regression analysis.

The results showed that the material consisted of 8% of copper provided the maximum expansion of 1.72 percent after the sintering temperature of 1120 °C. However, 6 and 0.8 percentage of copper and graphite after sintering at 1120 °C resulted the maximum of the biaxial bending strength and the young's modulus of 656.15 N/mm<sup>2</sup> and 8489.46 N/mm<sup>2</sup> respectively. Finally, 10 and 1.2 percentage of copper and graphite sintered at 1120 °C provided the maximum of the specific gravity and the hardness of 6.187 and 81.5 HRT respectively.

ภาควิชา วิศวกรรมอุตสาหการ  
สาขาวิชา วิศวกรรมอุตสาหการ  
ปีการศึกษา 2540

ลายมือชื่อนิสิต รานี สาริกะ (.....)  
ลายมือชื่ออาจารย์ที่ปรึกษา พล. พล. พล. พล.  
ลายมือชื่ออาจารย์ที่ปรึกษาร่วม

## กิตติกรรมประกาศ

วิทยานิพนธ์ฉบับนี้สำเร็จลุล่วงไปได้ด้วยดี เนื่องจากความเมตตา กรุณาของ อาจารย์ ดร. สมชาย พัฒนาเนตร อาจารย์ที่ปรึกษาวิทยานิพนธ์ ที่ได้กรุณาร่วมเวลาให้ทั้ง คำปรึกษา ความรู้ และข้อคิดเห็นต่างๆ อันเป็นประโยชน์อย่างยิ่ง ตลอดระยะเวลาของการทำวิทยานิพนธ์

ขอขอบพระคุณ คณะกรรมการสอบวิทยานิพนธ์ ซึ่งประกอบด้วย ศาสตราจารย์ ดร. ศรีจันทร์ ทองประเสริฐ, รองศาสตราจารย์ ชุ่ม มนลิตา และ รองศาสตราจารย์ สมชาย พวงเพิกศึก ที่ได้กรุณาให้ข้อคิดเห็น และ ข้อเสนอแนะสำหรับวิทยานิพนธ์ฉบับนี้

ขอขอบพระคุณ คุณสมชาย เวโรจน์พิพัฒน์ ผู้จัดการโรงงาน THAI CARBON & GRAPHITE ที่ได้ให้ความอนุเคราะห์ทางด้าน อุปกรณ์ เครื่องมือ วัสดุในการเขียนรูปชิ้นงาน รวมทั้ง คำปรึกษาต่างๆ ตลอดระยะเวลาการทำวิทยานิพนธ์

ขอขอบพระคุณผู้ที่ได้กรุณาให้ความอนุเคราะห์ และอำนวยความสะดวกในการทำวิทยานิพนธ์ครั้งนี้ ซึ่งได้แก่ เจ้าหน้าที่ของโรงงาน เจ้าหน้าที่ประจำห้องปฏิบัติการ สูนย์เครื่องมือวิจัย วิทยาศาสตร์และเทคโนโลยี จุฬาลงกรณ์มหาวิทยาลัย ที่ได้กรุณาให้ความอนุเคราะห์ ในการใช้ เครื่อง SEM ขอขอบคุณ พี่ๆ เจ้าหน้าที่ธุรการประจำภาควิชา วิศวกรรมอุตสาหการทุกท่าน ที่ได้ อำนวยความสะดวกในการเข้าใช้ห้องปฏิบัติการของภาควิชา ขอขอบคุณเพื่อนๆ นิสิตภาควิชา วิศวกรรมอุตสาหการ ที่ได้ให้กำลังใจมาโดยตลอด

สุดท้ายนี้ ผู้วิจัยได้ขอขอบคุณ บุคคลที่เกี่ยวข้องที่มิได้เอียนาม ที่ได้ให้ความช่วยเหลือในการทำวิจัยวิทยานิพนธ์ฉบับนี้อย่างดี

## สารบัญ

หน้า

บทคัดย่อภาษาไทย.....	๔
บทคัดย่อภาษาอังกฤษ.....	๕
กิตติกรรมประกาศ.....	๖
สารบัญตาราง.....	๗
สารบัญรูป.....	๘
<b>บทที่ 1. บทนำ</b>	
1.1 หลักการและเหตุผล.....	1
1.2 วัตถุประสงค์ของการวิจัย.....	4
1.3 ขอบเขตของการวิจัย.....	4
1.4 วิธีดำเนินการวิจัย.....	5
1.4 ประโยชน์ที่คาดว่าจะได้รับ.....	6
<b>บทที่ 2. หลักการพื้นฐาน และการสำรวจงานวิจัยที่เกี่ยวข้อง</b>	
2.1 หลักการพื้นฐานเกี่ยวกับการแปรรูปวัสดุ.....	7
2.2 ผงโภชนาวิทยา	
2.2.1 การทำผงโภชนา.....	8
2.2.2 กระบวนการผสมและการอัดขี้นรูปผงโภชนา .....	8
2.2.3 การเผา.....	11
2.2.4 การปรับปรุงคุณสมบัติของชิ้นส่วนผงโภชนา.....	12
2.2.5 การประยุกต์ใช้ผลิตภัณฑ์ผงโภชนา.....	12
2.3 การวิเคราะห์การทดลอง.....	13
2.4 งานวิจัยที่เกี่ยวข้อง.....	16

### บทที่ 3. การดำเนินงานวิจัย

<b>3.1 การเตรียมชิ้นงาน และการเขียนรูปชิ้นงาน</b>	
3.1.1 วัสดุ และอุปกรณ์.....	20
3.1.2 วิธีการเตรียมชิ้นงานสำหรับผู้โดย旁ชม.....	20
3.2 การตรวจสอบรูปทรงของวัสดุ.....	24
3.3 การทดสอบคุณสมบัติทางกายภาพ	
3.3.1 การตรวจสอบอัตราส่วนผสมในโลหะผสม.....	24
3.3.2 ความถ่วงจำเพาะ.....	25
3.3.3 การเปลี่ยนแปลงขนาด.....	25
3.4 การทดสอบคุณสมบัติเชิงกล	
3.4.1 คุณสมบัติภายใต้แรงดันน้ำ 2 แกน.....	26
3.4.2 ความแข็ง.....	28
3.4.3 การตรวจสอบลักษณะเกรนของผงโลหะผสมภายหลังการดัดน้ำ 2 แกน	28
3.4.4 การตรวจสอบการกระจายของผงโลหะผสมภายหลังการดัดน้ำ 2 แกน..	29
3.5 การวิเคราะห์ผลทางสถิติ	
3.5.1 การวิเคราะห์ความแปรปรวน.....	32
3.5.2 การวิเคราะห์การถดถอย.....	32

### บทที่ 4. ผลการทดลอง และการวิเคราะห์

<b>4.1 ผลการตรวจสอบรูปทรง และลักษณะของเหล็ก ทองแดง และ เกรฟไฟต์...</b>	34
<b>4.2 ผลการทดลองส่วนผสมระหว่าง เหล็ก ทองแดง และ เกรฟไฟต์</b>	
4.2.1 ผลการทดสอบคุณสมบัติทางกายภาพ.....	36
4.2.2 ผลการทดสอบคุณสมบัติเชิงกล.....	51
4.2.3 การวิเคราะห์ผลทางสถิติ.....	80
<b>4.3 การวิเคราะห์ความสัมพันธ์ระหว่างคุณสมบัติของผงโลหะผสม</b>	
4.3.1 ความสัมพันธ์ระหว่างคุณสมบัติทางกายภาพ.....	100
4.3.2 ความสัมพันธ์ระหว่างความถ่วงจำเพาะ กับ คุณสมบัติเชิงกล.....	100
4.3.3 ความสัมพันธ์ระหว่างการเปลี่ยนแปลงขนาด กับ คุณสมบัติเชิงกล.....	105
4.3.4 ความสัมพันธ์ระหว่างคุณสมบัติเชิงกล.....	109

<b>4.4 สรุปผลการทดลอง</b>	
<b>4.4.1 ผลสรุปการทดลองส่วนผสม ระหว่าง ทองแดง แกรไฟต์ และ อุณหภูมิการเผา</b>	113
<b>4.4.2 ผลสรุปความสัมพันธ์ระหว่างคุณสมบัติของผงโลหะผสม</b>	113
<b>บทที่ 5. วิจารณ์ผลการทดลอง</b>	
<b>5.1 ส่วนผสมระหว่าง ปริมาณทองแดง แกรไฟต์ และ อุณหภูมิการเผา</b>	
<b>5.1.1 ผลของ ทองแดง แกรไฟต์ และ อุณหภูมิการเผาที่มีต่อคุณสมบัติทางกายภาพ และคุณสมบัติเชิงกล</b>	119
<b>5.1.2 ความสัมพันธ์ระหว่างคุณสมบัติแรงดึงดูดชนิด 2 แกน กับ แรงดึงดูดชนิด 3 จุด.</b>	122
<b>5.1.3 ความสัมพันธ์ระหว่างคุณสมบัติทางกายภาพ และเชิงกล กับส่วนผสมของทองแดง แกรไฟต์ และ อุณหภูมิการเผา</b>	122
<b>5.2 ความสัมพันธ์ระหว่างคุณสมบัติของผงโลหะผสม</b>	123
<b>บทที่ 6. สรุปผลการทดลอง และข้อเสนอแนะ</b>	
<b>6.1 สรุปผลการทดลอง</b>	125
<b>6.2 การประยุกต์ผลการทดลอง</b>	127
<b>6.3 ข้อเสนอแนะ</b>	127
<b>รายการอ้างอิง</b>	129
ภาคผนวก-ก ข้อมูลผลการทดลองคุณสมบัติทางกายภาพและ คุณสมบัติเชิงกล	132
ภาคผนวก-ข ตัวอย่างผลการตรวจสอบอัตราส่วนผสมในโลหะผสม	147
ภาคผนวก-ค ตัวอย่างผลการทดสอบคุณสมบัติคิวบิกเรื่องทดสอบแรงดึงดูดชนิด 2 แกน	150
ภาคผนวก-ง ตัวอย่างโปรแกรมคำสั่ง และผลการรันโปรแกรม SPSS	152
ภาคผนวก-จ กราฟแสดงผลของค่าความแข็งแรงในการรับแรงดึงดูดชนิด 3 จุด	157
ประวัติผู้เขียน	158

## สารบัญตาราง

ตารางที่	หน้า
3.1 ส่วนผสมของพงโลหะสมรรถห่วง เหล็ก ทองแดง แกรไฟต์ และ อุณหภูมิการเผา.....	21
4.1 ผลการตรวจสอบอัตราส่วนผสมในพงโลหะหลังการเผา.....	36
4.2 ผลของค่าความถ่วงจำเพาะ ของปริมาณทองแดง และ แกรไฟต์ ที่อุณหภูมิการเผา 1120 องศาเซลเซียส.....	38
4.3 ผลของค่าความถ่วงจำเพาะ ของปริมาณทองแดง และ แกรไฟต์ ที่อุณหภูมิการเผา 950 องศาเซลเซียส.....	40
4.4 ผลของค่าความถ่วงจำเพาะ ของปริมาณทองแดง และ แกรไฟต์ ที่อุณหภูมิการเผา 880 องศาเซลเซียส.....	42
4.5 ผลของการเปลี่ยนแปลงขนาด ของปริมาณทองแดง และ แกรไฟต์ ที่อุณหภูมิการเผา 1120 องศาเซลเซียส.....	45
4.6 ผลของการเปลี่ยนแปลงขนาด ของปริมาณทองแดง และ แกรไฟต์ ที่อุณหภูมิการเผา 950 องศาเซลเซียส.....	47
4.7 ผลของการเปลี่ยนแปลงขนาด ของปริมาณทองแดง และ แกรไฟต์ ที่อุณหภูมิการเผา 880 องศาเซลเซียส.....	49
4.8 ผลของค่าแรงดันชนิด 2 แกน ของปริมาณทองแดง และ แกรไฟต์ ที่อุณหภูมิการเผา 1120 องศาเซลเซียส.....	52
4.9 ผลของค่าแรงดันชนิด 2 แกน ของปริมาณทองแดง และ แกรไฟต์ ที่อุณหภูมิการเผา 950 องศาเซลเซียส.....	54
4.10 ผลของค่าแรงดันชนิด 2 แกน ของปริมาณทองแดง และ แกรไฟต์ ที่อุณหภูมิการเผา 880 องศาเซลเซียส.....	56
4.11 ผลของค่าโมดูลัสความยืดหยุ่น ของปริมาณทองแดง และ แกรไฟต์ ที่อุณหภูมิการเผา 1120 องศาเซลเซียส.....	59
4.12 ผลของค่าโมดูลัสความยืดหยุ่น ของปริมาณทองแดง และ แกรไฟต์ ที่อุณหภูมิการเผา 950 องศาเซลเซียส.....	61
4.13 ผลของค่าโมดูลัสความยืดหยุ่น ของปริมาณทองแดง และ แกรไฟต์ ที่อุณหภูมิการเผา 880 องศาเซลเซียส.....	63

4.14 ผลของค่าความแข็ง ของปริมาณทองแดง และ แกรไฟต์ ที่อุณหภูมิการเผา 1120 องศาเซลเซียส.....	66
4.15 ผลของค่าความแข็ง ของปริมาณทองแดง และ แกรไฟต์ ที่อุณหภูมิการเผา 950 องศาเซลเซียส.....	68
4.16 ผลของค่าความแข็ง ของปริมาณทองแดง และ แกรไฟต์ ที่อุณหภูมิการเผา 880 องศาเซลเซียส.....	70
4.17 ผลการวิเคราะห์ความแปรปรวนของข้อมูลความถ่วงจำเพาะ.....	81
4.18 ผลการวิเคราะห์ความแปรปรวนของข้อมูลการเปลี่ยนแปลงขนาด.....	83
4.19 ผลการวิเคราะห์ความแปรปรวนของข้อมูลแรงดึงดันนิค 2 แกน.....	85
4.20 ผลการวิเคราะห์ความแปรปรวนของข้อมูลโนดูลส์ความยืดหยุ่น.....	87
4.21 ผลการวิเคราะห์ความแปรปรวนของข้อมูลความแข็ง.....	89
4.22 ผลการวิเคราะห์การถดถอยของข้อมูลความถ่วงจำเพาะ.....	91
4.23 ผลการวิเคราะห์การถดถอยของข้อมูลการเปลี่ยนแปลงขนาด.....	93
4.24 ผลการวิเคราะห์การถดถอยของข้อมูลแรงดึงดันนิค 2 แกน.....	95
4.25 ผลการวิเคราะห์การถดถอยของข้อมูลโนดูลส์ความยืดหยุ่น.....	97
4.26 ผลการวิเคราะห์การถดถอยของข้อมูลความแข็ง.....	99
4.27 สรุปผลค่าเฉลี่ยของคุณสมบัติทางกายภาพ และคุณสมบัติเชิงกล ของส่วนผสม ระหว่าง ทองแดง แกรไฟต์ และ อุณหภูมิการเผา.....	114
4.28 สรุปสมการความสัมพันธ์ระหว่างคุณสมบัติทางกายภาพ และคุณสมบัติเชิงกล กับ ส่วนผสม ทองแดง แกรไฟต์ และ อุณหภูมิการเผา.....	117
4.29 สรุปสมการความสัมพันธ์ระหว่างคุณสมบัติของชิ้นงานพลาสติก.....	118
5.1 ผลการเปรียบของค่าแรงดึงดันนิค 2 แกน และค่าแรงดึงดันนิค 3 จุด ที่อุณหภูมิการเผา 1120 องศาเซลเซียส.....	124
6.1 ผลการเลือกปริมาณทองแดง แกรไฟต์ และ อุณหภูมิการเผา ในการผลิตชิ้นส่วนพลาสติก.....	128

## สารบัญรูป

รูปที่	หน้า
3.1 อุปกรณ์หาค่าความถ่วงจำเพาะ.....	29
3.2 อุปกรณ์ทดสอบแรงดึงดันนิค 2 แกน.....	30
3.3 เครื่องและอุปกรณ์ทดสอบแรงดึงดันนิค 2 แกน.....	30
3.4 เครื่องทดสอบความแข็ง .....	31
4.1 ภาพถ่ายของผงเหล็ก.....	34
4.2 ภาพถ่ายของผงทองแดง.....	35
4.3 ภาพถ่ายของผงแกรไฟต์.....	35
4.4 ความสัมพันธ์ระหว่างค่าความถ่วงจำเพาะ กับ ปริมาณทองแดง และแกรไฟต์ ที่อุณหภูมิการเผา 1120 องศาเซลเซียส.....	39
4.5 ความสัมพันธ์ระหว่างค่าความถ่วงจำเพาะ กับ ปริมาณทองแดง และแกรไฟต์ ที่อุณหภูมิการเผา 950 องศาเซลเซียส.....	41
4.6 ความสัมพันธ์ระหว่างค่าความถ่วงจำเพาะ กับ ปริมาณทองแดง และแกรไฟต์ ที่อุณหภูมิการเผา 880 องศาเซลเซียส.....	43
4.7 ความสัมพันธ์ระหว่างการเปลี่ยนแปลงขนาด กับ ปริมาณทองแดง และ แกรไฟต์ ที่อุณหภูมิการเผา 1120 องศาเซลเซียส .....	46
4.8 ความสัมพันธ์ระหว่างการเปลี่ยนแปลงขนาด กับ ปริมาณทองแดง และแกรไฟต์ ที่อุณหภูมิการเผา 950 องศาเซลเซียส.....	48
4.9 ความสัมพันธ์ระหว่างการเปลี่ยนแปลงขนาด กับ ปริมาณทองแดงและแกรไฟต์ ที่อุณหภูมิการเผา 880 องศาเซลเซียส.....	50
4.10 ความสัมพันธ์ระหว่างค่าแรงดึงดันนิค 2 แกน กับ ปริมาณทองแดงและ แกรไฟต์ ที่อุณหภูมิการเผา 1120 องศาเซลเซียส.....	53
4.11 ความสัมพันธ์ระหว่างค่าแรงดึงดันนิค 2 แกน กับ ปริมาณทองแดงและ แกรไฟต์ ที่อุณหภูมิการเผา 950 องศาเซลเซียส.....	55
4.12 ความสัมพันธ์ระหว่างค่าแรงดึงดันนิค 2 แกน กับ ปริมาณทองแดงและแกรไฟต์ ที่อุณหภูมิการเผา 880 องศาเซลเซียส.....	57

4.13 ความสัมพันธ์ระหว่างค่าโน้มถ่วงและความยึดหยุ่น กับ ปริมาณทองแดง และ เกราไฟต์ที่อุณหภูมิการเผา 1120 องศาเซลเซียส.....	60
4.14 ความสัมพันธ์ระหว่างค่าโน้มถ่วงและความยึดหยุ่น กับ ปริมาณทองแดงและ เกราไฟต์ที่อุณหภูมิการเผา 950 องศาเซลเซียส.....	62
4.15 ความสัมพันธ์ระหว่างค่าโน้มถ่วงและความยึดหยุ่น กับ ปริมาณทองแดง และ เกราไฟต์ที่อุณหภูมิการเผา 880 องศาเซลเซียส.....	64
4.16 ความสัมพันธ์ระหว่างค่าความแข็ง กับ ปริมาณทองแดง และ เกราไฟต์ที่อุณหภูมิการเผา 1120 องศาเซลเซียส.....	67
4.17 ความสัมพันธ์ระหว่างค่าความแข็ง กับ ปริมาณทองแดง และ เกราไฟต์ที่อุณหภูมิการเผา 950 องศาเซลเซียส.....	69
4.18 ความสัมพันธ์ระหว่างค่าความแข็ง กับ ปริมาณทองแดง และ เกราไฟต์ที่อุณหภูมิการเผา 880 องศาเซลเซียส.....	71
4.19 ภาพถ่ายกรนของผงโลหะผสมที่มี ทองแดง 6 เปอร์เซ็นต์ เกราไฟต์ 0.4 เปอร์เซ็นต์ อุณหภูมิการเผา 1120 องศาเซลเซียส.....	73
4.20 ภาพถ่ายกรนของผงโลหะผสมที่มี ทองแดง 6 เปอร์เซ็นต์ เกราไฟต์ 0.8 เปอร์เซ็นต์ อุณหภูมิการเผา 1120 องศาเซลเซียส.....	73
4.21 ภาพถ่ายกรนของผงโลหะผสมที่มี ทองแดง 6 เปอร์เซ็นต์ เกราไฟต์ 1.2 เปอร์เซ็นต์ อุณหภูมิการเผา 1120 องศาเซลเซียส.....	74
4.22 ภาพถ่ายกรนของผงโลหะผสมที่มี ทองแดง 6 เปอร์เซ็นต์ เกราไฟต์ 0.4 เปอร์เซ็นต์ อุณหภูมิการเผา 950 องศาเซลเซียส.....	74
4.23 ภาพถ่ายกรนของผงโลหะผสมที่มี ทองแดง 6 เปอร์เซ็นต์ เกราไฟต์ 0.4 เปอร์เซ็นต์ อุณหภูมิการเผา 880 องศาเซลเซียส.....	75
4.24 ภาพถ่ายกรนของผงโลหะผสมที่มี ทองแดง 6 เปอร์เซ็นต์ เกราไฟต์ 0.8 เปอร์เซ็นต์ อุณหภูมิการเผา 880 องศาเซลเซียส.....	75
4.25 ภาพถ่ายบริเวณพื้นที่หน้าตัดของรอยหัก ของชิ้นส่วนผงโลหะผสมที่เป็นผงเหล็ก 100 เปอร์เซ็นต์ และ อุณหภูมิการเผา 1120 องศาเซลเซียส.....	77
4.26 ภาพถ่ายบริเวณพื้นที่หน้าตัดของรอยหัก ของชิ้นส่วนผงโลหะผสมที่เป็น ทองแดง 4 เปอร์เซ็นต์ เกราไฟต์ 0 เปอร์เซ็นต์ และ อุณหภูมิการเผา 1120 องศาเซลเซียส.....	77

4.27 ภาพถ่ายบริเวณพื้นที่หน้าตัดของรอยหัก ของชิ้นส่วนผงโลหะผสมที่เป็น ทองแดง 8 เปรอร์เซ็นต์ แกรไฟต์ 0 เปรอร์เซ็นต์ และ อุณหภูมิการเผา 1120 องศาเซลเซียส.....	78
4.28 ภาพถ่ายบริเวณพื้นที่หน้าตัดของรอยหัก ของชิ้นส่วนผงโลหะผสมที่เป็น ผงเหล็ก 100 เปรอร์เซ็นต์และ อุณหภูมิการเผา 950 องศาเซลเซียส.....	78
4.29 ภาพถ่ายบริเวณพื้นที่หน้าตัดของรอยหัก ของชิ้นส่วนผงโลหะผสมที่เป็น ผงเหล็ก 100 เปรอร์เซ็นต์ และ อุณหภูมิการเผา 880 องศาเซลเซียส.....	79
4.30 ความสัมพันธ์แบบเส้นตรง ระหว่างค่าความถ่วงจำเพาะ กับ การเปลี่ยนแปลงขนาด.....	101
4.31 ความสัมพันธ์แบบโพลิโนเมียลคีรี2 ระหว่างค่าความถ่วงจำเพาะ กับ การเปลี่ยนแปลงขนาด.....	101
4.32 ความสัมพันธ์แบบเส้นตรง ระหว่างค่าความถ่วงจำเพาะ กับ แรงดึงดูด 2 แกน.....	102
4.33 ความสัมพันธ์แบบโพลิโนเมียลคีรี2 ระหว่างค่าความถ่วงจำเพาะ กับ แรงดึงดูด 2 แกน.....	102
4.34 ความสัมพันธ์แบบเส้นตรง ระหว่างค่าความถ่วงจำเพาะ กับ โมดูลัสความยึดหยุ่น.....	103
4.35 ความสัมพันธ์แบบโพลิโนเมียลคีรี2 ระหว่างค่าความถ่วงจำเพาะ กับ โมดูลัสความยึดหยุ่น.....	103
4.36 ความสัมพันธ์แบบเส้นตรง ระหว่างค่าความถ่วงจำเพาะ กับ ความแข็ง.....	104
4.37 ความสัมพันธ์แบบโพลิโนเมียลคีรี2 ระหว่างค่าความถ่วงจำเพาะ กับ ความแข็ง.....	104
4.38 ความสัมพันธ์แบบเส้นตรง ระหว่างการเปลี่ยนแปลงขนาด กับ แรงดึงดูด 2 แกน.....	106
4.39 ความสัมพันธ์แบบโพลิโนเมียลคีรี2 ระหว่างการเปลี่ยนแปลงขนาด กับ แรงดึงดูด 2 แกน.....	106
4.40 ความสัมพันธ์แบบเส้นตรง ระหว่างการเปลี่ยนแปลงขนาด กับ โมดูลัสความยึดหยุ่น....	107
4.41 ความสัมพันธ์แบบโพลิโนเมียลคีรี2 ระหว่างการเปลี่ยนแปลงขนาด กับ โมดูลัสความยึดหยุ่น.....	107
4.42 ความสัมพันธ์แบบเส้นตรง ระหว่างการเปลี่ยนแปลงขนาด กับ ค่าความแข็ง.....	108
4.43 ความสัมพันธ์แบบโพลิโนเมียลคีรี2 ระหว่างการเปลี่ยนแปลงขนาด กับ ค่าความแข็ง.	108
4.44 ความสัมพันธ์แบบเส้นตรง ระหว่างค่าแรงดึงดูด 2 แกน กับ โมดูลัสความยึดหยุ่น.....	110
4.45 ความสัมพันธ์แบบโพลิโนเมียลคีรี2 ระหว่างค่าแรงดึงดูด 2 แกน กับ โมดูลัสความยึดหยุ่น.....	110

## หน้า

- 4.46 ความสัมพันธ์แบบเส้นตรง ระหว่างค่าความแข็ง กับ แรงดึงชนิด 2 แกน..... 111  
4.47 ความสัมพันธ์แบบโพลิโนเมียลคีกรี 2 ระหว่างค่าความแข็ง กับ แรงดึงชนิด 2 แกน..... 111  
4.48 ความสัมพันธ์แบบเส้นตรง ระหว่างค่าความแข็ง กับ โมดูลัสความยืดหยุ่น..... 112  
4.49 ความสัมพันธ์แบบโพลิโนเมียลคีกรี 2 ระหว่างค่าความแข็ง กับ โมดูลัสความยืดหยุ่น.... 112